

軟弱粘土の流動特性について

大阪大学工学部 正員 松井 保
建設省北陸地建 正員 ○竹本 雅俊

[1] まえがき

軟弱粘土にはしばしば流動現象が見られ、流動に関する種々の問題を生ずる。この研究は軟弱粘土の流動特性をパイプフロー試験によって調べたものである。軟弱粘土は一般に非Bingham塑性流動を示すことは第2回年次学術講演会において既に報告¹⁾したが、ここではさらに流速の遅い部分について実験を行うとともに、流動曲線の一部をBingham塑性流動として近似し、パイプの管径・管長等による影響について考察した結果を報告する。

[2] 実験装置及び実験方法

実験に使用した試料はシルト質ロームマ、L.L.=72%

P.L.=31%、Gs=2.650である。実験装置は図-1に示すよう

に内径11cm長さ43cmのアクリル樹脂製円筒容器の一端

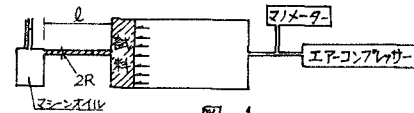


図-1

に表-1に示す3種類の内面にネジを切ったパイプをとりつけ、

他端をエアコンプレッサーおよびマノメーターに接続したもの

である。実験方法はある含水比に調整した試料を練り返して円

筒容器につめ、1時間放置してからエアコンプレッサーによる圧

力を加えて試料をパイプから流出させる。圧力を順次変化させてゆき、パイプに連結したマニホールドを満たした容器の表

面変位によって各圧力における流量を測定する。表-1に示す3

種のパイプについてL.L.以上の含水比の試料で実験を行った。

更にL.L.以下の含水比の自立可能な試料で、直径5cm高さ10cm

の供試体を作製した後、速度が1%/min.の速度で単軸圧縮試

験を行つた。パイプフロー試験による見かけの降伏値と比較し

た。なお104.4%の実験も室内温度を10-15°Cに保つて温度変化に

よる影響をささげた。

| | l (cm) | R (cm) | l/R |
|-------|----------|----------|-------|
| 実験I | 5.20 | 0.35 | 14.9 |
| 実験II | 7.30 | 0.51 | 14.4 |
| 実験III | 15.12 | 0.51 | 29.8 |

表-1

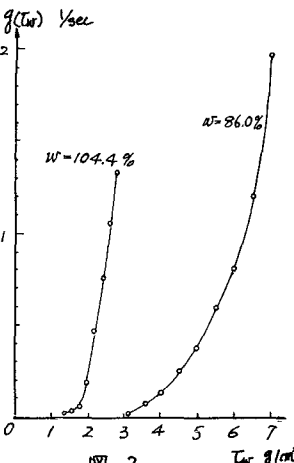


図-2

[3] 実験結果及び考察

図-2の一例として実験IIIのパイプを行つた実験の結果なら、

Krieger-Máronの方法を用いて求めた流動曲線である。図から判る

ようにせん断応力と変形速度の関係は直線ではなく、しかも降

伏値を有するから非Bingham塑性流動を示す。この非Bingham塑性流動は通常Herschel-Bulkley式で表わされるが、Herschel-Bulkley式は複雑で実用計算に適しないこと、また現実の流動

現象では一定の流速で流動すること少なくないことに等の理由から、流動曲線を流速によって分離し、各区间を直線式で表わされるBingham流動として近似した。

(i) Herschel-Bulkley式による表示

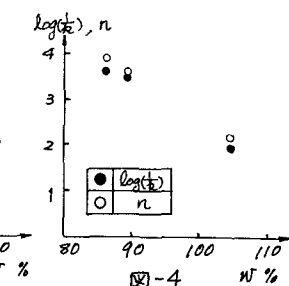
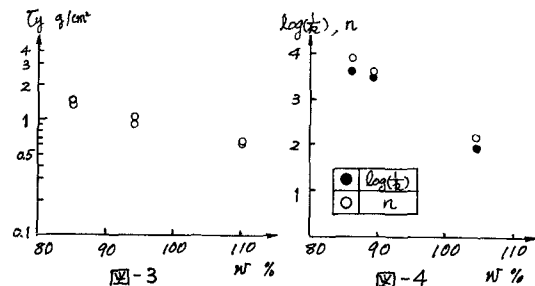
Herschel-Bulkley式は $\tau(t) = k(t-t_y)^n$ で表わされる。ここに $\tau(t)$: 变形速度, t : せん断応力, k, n : 定数

τ_y : 真の降伏値である。 τ_y は流動曲線と τ -軸との交点の値であるが、図-2 から判るまことに外挿によって明確に求めることはほとんど不可能なので、軟弱粘土中に埋め込み、表面に標準砂を張りつけた板を引き抜くに要する単位面積当たりの力を近似的に真の降伏値と見なして他の是数から n を求めた。図-3 は以上のようにして求めた τ_y と含水比 w の関係を示すが、この図から用意した τ_y は含水比 w の増加に伴って τ_y が増加する。また図-4 は含水比 w と k, n の関係を示すが、データは少ないけれども含水比 w の増加するにつれて k は指数的的に減少するが、 n は直線的に減少する傾向を持つと思われる。

(2) Bingham 塑性流動としての表示

Bingham 塑性流動は、 $\dot{\gamma}(t) = (\tau - \tau_y)/\mu_p$ で表わ

される。ここに、 μ_p : 塑性粘度、 τ_y : 降伏値である。非Bingham 塑性流動をこの式で表示する場合に μ_p, τ_y は夫々見かけの塑性粘度、見かけの降伏値である。図-2 に示す実験 III の流動曲線を Bingham 流動として表示すると μ_p, τ_y は流速によつて表-2 に示すようになる。即ち流速が遅くなる程 μ_p は大きくなり、 τ_y は小さくなる。



| | 流速 (cm/sec) | μ_p (g.sec/cm ²) | τ_y (g/cm ²) |
|-----------------------|--|----------------------------------|-------------------------------|
| 実験 III $w=104.4\%$ | $1.8 \times 10^3 \sim 1.5 \times 10^4$ | 49.4 | 0.79 |
| | $4.0 \times 10^3 \sim 3.0 \times 10^3$ | 7.1 | 1.86 |
| | $3.4 \times 10^3 \sim 1.0 \times 10^3$ | 6.7 | 1.89 |
| 実験 III $w=86.0\%$ | $1.5 \times 10^3 \sim 1.2 \times 10^3$ | 119.5 | 2.96 |
| | $4.0 \times 10^3 \sim 3.0 \times 10^3$ | 39.5 | 3.48 |
| | $3.8 \times 10^3 \sim 1.2 \times 10^3$ | 10.8 | 5.07 |

表-2

ひずみ・及びひずみの変化による影響

図-5 は流速が $4 \times 10^{-4} \sim 3 \times 10^{-3}$ cm/sec の部分の流動曲線を Bingham 塑性流動として表示した場合の含水比 w と μ_p, τ_y の関係を示すが、実験 I, II, III ともに含水比 w の増加するにつれて μ_p, τ_y とも指数的的に減少するが、その他の点で特に差異が認められない。従つてひずみ及びひずみの変化による影響は少なく、この実験に用いた程度のパイプを用いれば、入口損失等の影響は少ないと考えられる。

単軸圧縮試験との比較

図-5 に示すように単軸圧縮試験によるせん断強度も含水比 w の増加するにつれて指数的に減少するが、パイプフロー試験による τ_y の減少の割合とは異なり、その境界が L.L. 附近にあることから L.L. 附近を境として流動特性が変化することを予想される。

最後に、御指導いただいただしている本学舟橋教授、並びに実験に協力された古賀健一君(阪大、大学院)に対し、謝意を表する次第である。

〔参考文献〕 1) 伊藤・松井・岩谷・竹本「軟弱地盤の流動に関する実験」第22回日本建築学会 1967